

Следующим шагом нагрузим пластину на бесконечности моментами

$$M_x = -M_y = [C_1 b^2 (1-v)] / [(3+v) 2a^2] \quad (22)$$

Тогда по формуле (20) на контуре  $|z|=a$  получим

$$W = -\frac{C_1 b^2}{(3+v) 4D} \cos 2\theta + \text{const} \quad (23)$$

Сравнивая между собой формулы (14) и (23), убеждаемся в том, что изгиб (22) «снимает» вдоль контура переменную часть перемещения (14) и, таким образом, граничное условие  $W=\text{const}$  при  $|z|=a$  выполняется. Момент  $M_1$ , возникающий на контуре  $|z|=a$  вследствие изгиба (22), находим по формуле (15)

$$M_1 = -\frac{C_1 b^2 (1-v)}{(3+v) 2a^2} \cos 2\theta$$

В результате после корректировки граничных значений изгибами (19) и (22) момент  $M_1$  будет равен

$$M_1 = (3v-1) \cos 2\theta \frac{b^2 C_1}{2a^2 (3+v)} \quad (24)$$

Возвращаясь к формулам (18), получим следующее значение коэффициента  $K$ , учитывающее проведенную корректировку на круговом контуре  $|z|=a$

$$K = 3qb^{1/2} [a^2(3+v)] h^{-2}/8 \quad (25)$$

Формулы (18) вместе с (24) показывают, что, хотя погрешность решения (25) остается равной  $O(b^2/a^2)$  по сравнению с единицей, точность последнего растет пропорционально  $|3v-1|$ .

В заключение оценим полученное значение  $K$ . Для этого несущественно изменим момент (4), заменив его постоянным моментом  $M^* = -qa^2(3+\sigma)/16$ . Накладывая на созданное поле напряжений чистый изгиб от момента  $M = -M^*$ , получим задачу, решение которой, следуя [1], имеет вид

$$K = 6Mb^{1/2}h^{-2} = 3qa^2b^{1/2}(3+v)h^{-2}/8$$

Это выражение несколько превышает значение (13), что объясняется увеличением момента, приложенного на разрезе, но совпадает с (25), что физически оправдано большей «жесткостью» конечной пластины по отношению к бесконечной.

Поступила 23 II 1976  
ЛИТЕРАТУРА

1. Sih G. C., Paris P. C., Erdogan F. Crack-tip, stress-intensity factors for plane extension and plate bending problems. Trans. ASME. Ser. E. J. Appl. Mech., 1962, vol. 29, No. 2. (Рус. перев.: Прикл. механ., Тр. Америк. о-ва инж.-механ., Сер. Е, 1962, т. 29, № 2.)
2. Филоненко-Бородич М. М. Теория упругости. М., Физматгиз, 1959.
3. Мусхелишвили Н. И. Некоторые основные задачи математической теории упругости. М., Изд-во АН СССР, 1954.
4. Савин Г. Н. Концентрация напряжений около отверстий. М.-Л., Гостехиздат, 1951.

УДК 539.3

## К ТЕОРИИ ИЗГИБА БАЛОК ИЗ АРМИРОВАННЫХ МАТЕРИАЛОВ

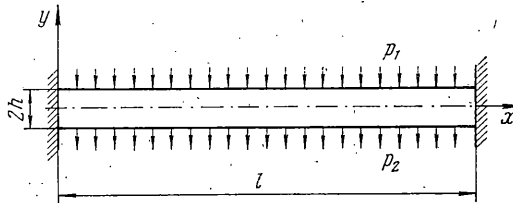
А. Н. УЛЬЯШИНА

(Москва)

Появление армированных материалов, обладающих сравнительно низкой жесткостью и прочностью в направлениях, не совпадающих с траекториями армирования, вызывает необходимость уточнения классических теорий изгиба балок, пластин и оболочек. В существующих прикладных теориях изгиба (см., например, обзор [12]) это уточнение в основном связано с учетом деформации поперечного сдвига, при

в этом сохраняется гипотеза о несжимаемости материала в поперечном направлении.

В данной работе рассматривается плоское напряженное состояние однородной ортотропной полосы с учетом сдвиговой и нормальной поперечных деформаций, а также связанный с последней эффект Пуассона.



Фиг. 1

Рассмотрим однородную ортотропную балку, нагруженную нормальным давлением (фиг. 1). Пусть  $\sigma_x$ ,  $\sigma_y$ ,  $\tau_{xy}$  — компоненты напряжения, определяемые уравнениями равновесия малого элемента

$$\frac{\partial \sigma_x}{\partial x_0} + \frac{l}{h} \frac{\partial \tau_{xy}}{\partial y_0} = 0, \quad \frac{\partial \tau_{xy}}{\partial x_0} + \frac{l}{h} \frac{\partial \sigma_y}{\partial y_0} = 0 \quad (1)$$

где  $x_0 = x/l$ ,  $y_0 = y/h$  — ортогональные координаты. В дальнейшем нулики для  $x$  и  $y$  опускаются, всюду ниже они означают безразмерные координаты. Запишем статические граничные условия при  $y = \pm 1$

$$\tau_{xy} = 0, \quad \sigma_y = \mp p_{1,2} \quad (2)$$

Закон Гука примем в форме

$$\begin{aligned} \frac{\partial u}{\partial x} &= \frac{l}{E_x} (\sigma_x - \mu_{yx} \sigma_y), & \frac{\partial v}{\partial y} &= \frac{h}{E_y} (\sigma_y - \mu_{xy} \sigma_x) \\ \frac{1}{h} \frac{\partial u}{\partial y} + \frac{1}{l} \frac{\partial v}{\partial x} &= \frac{\tau_{xy}}{G_{xy}} \end{aligned} \quad (3)$$

где  $u$ ,  $v$  — перемещения в направлениях осей  $x$  и  $y$ ,  $E_x$ ,  $E_y$ ,  $G_{xy}$ ,  $\mu_{xy}$ ,  $\mu_{yx}$  — упругие постоянные.

Продифференцируем второе равенство в (3) по  $x$ ; исключим из него  $\sigma_x$  с помощью уравнения (1) и проинтегрируем полученное соотношение по  $y$ . В результате получим

$$\frac{\partial v}{\partial x} = v_0'(x) + \frac{h}{E_y} \int_0^y \frac{\partial \sigma_y}{\partial x} dy + \frac{l \mu_{xy}}{E_y} [\tau_{xy} - \tau_0(x)] \quad (4)$$

$$v_0 = v(y=0), \quad \tau_0 = \tau_{xy}(y=0)$$

Подставляя равенство (4) в последнее соотношение закона Гука (3), после интегрирования по  $y$  найдем

$$u = u_0(x) - \frac{h}{l} v_0' y - \frac{h^2}{l E_y} \int_0^y dy \int_0^y \frac{\partial \sigma_y}{\partial x} dy + \frac{h \mu_{xy}}{E_y} \tau_0 y + h \left( \frac{1}{G_{xy}} - \frac{\mu_{xy}}{E_y} \right) \int_0^y \tau_{xy} dy. \quad (5)$$

Для построения кинематической модели примем в равенствах (4) и (5) напряжения  $\sigma_y$  и  $\tau_{xy}$  равными их значениям на начальной поверхности, т. е.  $\sigma_y = \sigma_y(y=0) = \sigma_0$ ,  $\tau_{xy} = \tau_0$ , а произвольную функцию, получающуюся в результате интегрирования соотношения (4), равной ее значению на начальной поверхности. Эта постоянная определяет смещение балки как твердого тела и может быть принята равной нулю.

Тогда равенства (4) и (5) можно записать в виде

$$v = v_0 + \frac{h}{E_y} \sigma_0 y, \quad u = u_0 - \frac{h}{l} v_0' y + \frac{h}{G_{xy}} \tau_0 y - \frac{h^2}{l E_y} \sigma_0' \frac{y^2}{2} \quad (6)$$

Нормальные напряжения в этом случае имеют вид

$$\sigma_x = \frac{E_x^{\circ}}{l} \left[ u_0' + \frac{l\mu_{xy}}{E_y} \sigma_0 - \left( \frac{h}{l} v_0'' - \frac{h}{G_{xy}} \tau_0' \right) y - \frac{h^2}{lE_y} \sigma_0'' \frac{y^2}{2} \right] \quad (7)$$

$$E_x^{\circ} = E_x (1 - \mu_{xy} \mu_{yx})$$

Рассмотрим далее уравнение равновесия. Подставляя  $\sigma_x$ , согласно (7), в первое уравнение системы (4) и интегрируя его по  $y$ , найдем значение  $\tau_{xy}$

$$\tau_{xy} = \tau_0 - \frac{hE_x^{\circ}}{l^2} \left[ \left( u_0'' + \frac{l\mu_{xy}}{E_y} \sigma_0' \right) y - \left( \frac{h}{l} v_0''' - \frac{h}{G_{xy}} \tau_0'' \right) \frac{y^2}{2} - \frac{h^2}{lE_y} \sigma_0''' \frac{y^3}{6} \right] \quad (8)$$

После интегрирования второго уравнения равновесия с учетом соотношения (8), получим выражение для  $\sigma_y$

$$\sigma_y = \sigma_0 - \frac{h}{l} \tau_0' y + \frac{h^2 E_x^{\circ}}{l^3} \left[ \left( u_0''' + \frac{l\mu_{xy}}{E_y} \sigma_0'' \right) \frac{y^2}{2} - \left( \frac{h}{l} v_0^{IV} - \frac{h}{G_{xy}} \tau_0''' \right) \frac{y^3}{6} - \frac{h^2}{lE_y} \sigma_0^{IV} \frac{y^4}{24} \right] \quad (9)$$

Таким образом, согласно равенствам (6) – (9), перемещения и напряжения выражаются через четыре функции одной переменной  $u_0$ ,  $v_0$ ,  $\sigma_0$  и  $\tau_0$ . При этом уравнения равновесия (1) и первое соотношение в (3) удовлетворяются точно, а второе и третье равенства в (3), не учитываемые в классической теории изгиба балок, удовлетворяются приближенно. Более точное выполнение этих равенств может быть осуществлено путем построения итерационного процесса, в котором перемещения  $u$  и  $v$  в каждом последующем приближении определяются равенствами (4), (5) с помощью выражений для  $\tau_{xy}$  и  $\sigma_y$ , получаемых из равенств (8) и (9) на предшествующем этапе. Вариант уточненной теории изгиба балок, рассматриваемый в данной работе, может считаться первым приближением такого итерационного процесса.

Для построения разрешающей системы уравнений воспользуемся равенствами (8), (9) и статическими граничными условиями (2). Полагая в равенствах (8), (9)  $y = \pm 1$ , на основании (2) получим

$$\begin{aligned} \tau_0 - \frac{hE_x^{\circ}}{l^2} \left[ \pm \left( u_0'' + \frac{l\mu_{xy}}{E_y} \sigma_0' \right) - \frac{1}{2} \left( \frac{h}{l} v_0''' - \frac{h}{G_{xy}} \tau_0'' \right) \mp \frac{h^2}{6lE_y} \sigma_0''' \right] = 0 \\ \sigma_0 \mp \frac{h}{l} \tau_0' + \frac{h^2 E_x^{\circ}}{l^3} \left[ \frac{1}{2} \left( u_0''' + \frac{l\mu_{xy}}{E_y} \sigma_0'' \right) \mp \frac{1}{6} \left( \frac{h}{l} v_0^{IV} - \frac{h}{G_{xy}} \tau_0''' \right) - \frac{h^2}{24lE_y} \sigma_0^{IV} \right] = \mp p_{1,2} \end{aligned}$$

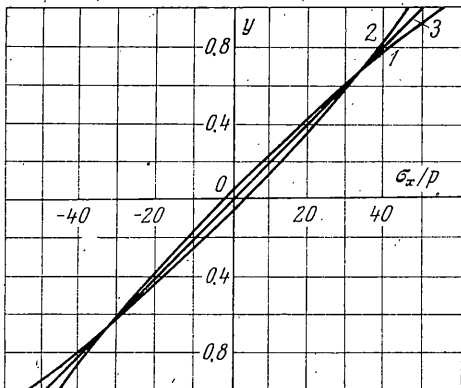
Складывая и вычитая попарно записанные уравнения, будем иметь

$$\frac{h^2 E_x^{\circ}}{l^2} \left[ \frac{1}{l} v_0''' - \frac{\tau_0''}{G_{xy}} \right] + 2\tau_0 = 0 \quad (10)$$

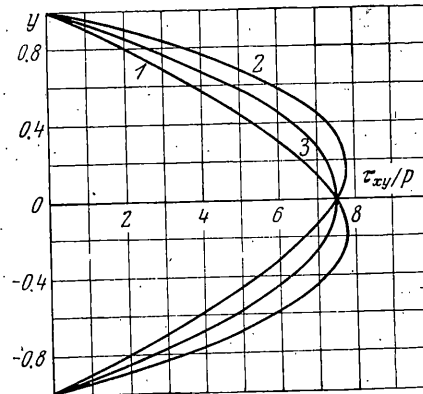
$$u_0'' + \frac{l\mu_{xy}}{E_y} \sigma_0' - \frac{h^2}{6lE_y} \sigma_0''' = 0 \quad (11)$$

$$\frac{h^2 E_x^{\circ}}{l^3} \left( u_0''' + \frac{l\mu_{xy}}{E_y} \sigma_0'' - \frac{h^2}{12lE_y} \sigma_0^{IV} \right) + 2\sigma_0 = p_2 - p_1 \quad (12)$$

$$\frac{h^3 E_x^{\circ}}{3l^3} \left( \frac{1}{l} v_0^{IV} - \frac{\tau_0'''}{G_{xy}} \right) + \frac{2h}{l} \tau_0' = p_1 + p_2 \quad (13)$$



Фиг. 2



Фиг. 3

Исключая из уравнения (12)  $u_0$  с помощью (14) и из уравнения (13) —  $v_0$ , согласно (10), запишем окончательную систему

$$\sigma_0^{IV} + 4k^4\sigma_0 = -2k^4(p_1 - p_2), \quad \tau_0' = \frac{3l}{4h}(p_1 + p_2), \quad k_4 = \frac{6l^4E_y}{h^4E_x}, \quad (14)$$

В качестве примера рассмотрим балку, показанную на фиг. 1, нагруженную равномерным давлением  $p_1, p_2$ . Решение уравнений (14) имеет вид

$$\sigma_0 = \sum_{i=1}^4 C_i F_i(x) - \frac{p_1 - p_2}{2}, \quad \tau_0' = \frac{3l}{4h}(p_1 + p_2)x + C_5 \quad (15)$$

$$F_{1,2} = e^{\pm kx} \sin kx, \quad F_{3,4} = e^{\pm kx} \cos kx$$

Функции  $u_0$  и  $v_0$  определяются из равенств (10), (14), (15)

$$u_0 = \frac{h^2}{6lE_y} \sum_{i=1}^4 C_i F_i' - \frac{l\mu_{xy}}{E_y} \sum_{i=1}^4 C_i \int F_i dx + C_6 x + C_7 \quad (16)$$

$$v_0 = -\frac{l^4 x^4}{16E_x h^3} (p_1 + p_2) - C_5 \frac{l^3}{3E_x h^2} x^3 + C_8 \frac{x^2}{2} + C_9 x + C_{10}$$

Напряжения и перемещения балки выражаются через найденные функции  $\sigma_0, \tau_0, u_0, v_0$  с помощью соотношений (6) — (9). Запишем граничные условия. Для жестко закрепленного края следует принять  $u=0, v=0$ , т. е. согласно равенствам (6), при  $x=0, x=1$  будем иметь

$$u_0 = v_0 = \sigma_0 = \sigma_0' = \frac{1}{l} v_0' - \frac{1}{G_{xy}} \tau_0 = 0 \quad (17)$$

Таким образом, десять произвольных постоянных, входящих в общее решение (15), (16), определяются из условий (17). Приведем окончательные выражения для перемещений

$$u = -\frac{h^2(p_1 - p_2)}{6lE_y} e^{-kx} \left[ k \sin kx (1 - 3y^2) - 3 \frac{l^2 \mu_{xy}}{kh^2} \cos kx \right] + \\ + \frac{l^3(p_1 + p_2)}{4h^2 E_x} \left( x - \frac{1}{2} \right) (x-1) xy + \frac{l\mu_{xy}(p_1 - p_2)}{2kE_y} (x-1) \\ v = \frac{h(p_1 - p_2)}{2E_y} [e^{-kx} (\cos kx + \sin kx) - 1] y + \\ + \frac{l^4(p_1 + p_2)}{8h^3 E_x} \left[ (-x^2 + 2x - 1) \frac{x^2}{2} + \frac{3h^2 E_x}{l^2 G_{xy}} x(x-1) \right] \quad (18)$$

Выражения для нормальных и касательных напряжений принимают вид

$$\sigma_x = \frac{h^2 E_x^o (p_1 - p_2)}{6l^2 E_y} k^2 e^{-kx} (\sin kx - \cos kx) (1 - 3y^2) +$$

$$+ \frac{l^2 (p_1 + p_2)}{4h^2} \left( 3x^2 - 3x + \frac{1}{2} \right) y + \frac{\mu_{xy} E_x^o (p_1 - p_2)}{2kE_y} (1 - k)$$

$$\tau_{xy} = \frac{h^3 E_x^o (p_1 - p_2)}{3l^2 E_y} k^3 e^{-kx} \cos kx (y^3 - y) + \frac{3l (p_1 + p_2)}{4h} \left( x - \frac{1}{2} \right) (1 - y^2)$$
(19)

Отметим, что построенное решение содержит гиперболо-тригонометрические функции и приближенно учитывает краевые эффекты типа погранслоя. При  $E_y \rightarrow \infty$ ,  $G_{xy} \rightarrow \infty$  полученное решение совпадает с результатом, вытекающим из элементарной теории изгиба балок. Следует отметить, что равенства (18), (19) справедливы при  $0 \leq x \leq 0.5$ , так как при определении констант балка считалась достаточно длинной и в решении для первого уравнения в (14) удерживалась только затухающая часть.

На фиг. 2, 3 показаны распределения нормальных и касательных напряжений в сечении  $x=0$  по толщине балки, нагруженной давлением  $p_1=p$  при  $p_2=0$  (кривая 1) и  $p_2=p$  при  $p_1=0$  (кривая 2). Кривая 3 соответствует решению, основанному на законе плоских сечений. Балка изготовлена из углепластика с параметрами:  $l/2h=10$ ,  $E_x=14.9 \cdot 10^3$  кгс/см<sup>2</sup>,  $E_y=0.6 \cdot 10^3$  кгс/см<sup>2</sup>,  $G_{xy}=0.4 \cdot 10^3$  кгс/см<sup>2</sup>,  $\mu_{xy}=\mu_{yx}=0.25$ . Распределения напряжений, найденные без учета эффекта Пуассона ( $\mu_{xy}=\mu_{yx}=0$ ), практически не отличаются от приведенных на фиг. 2, 3, поэтому пренебрежение эффектом Пуассона по толщине в рассматриваемых задачах представляется допустимым. Таким образом, предлагаемая расчетная модель позволяет достаточно просто учесть поперечные сдвиговую и нормальную деформации.

Поступила 25 VIII 1975

#### ЛИТЕРАТУРА

- Григорюк Э. И., Коган Ф. А. Современное состояние многослойных оболочек. Прикл. механ., 1972, т. 8, вып. 6.
- Галиньш А. Г. Расчет пластин и оболочек по уточненным теориям. В сб.: Исследования по теории пластин и оболочек. Изд. Казанск. ун-та, 1967, вып. 5; 1970, вып. 6—7.

УДК 539.214;539.374

#### ОБ ОДНОМ ВАРИАЦИОННОМ ПРИНЦИПЕ В МЕХАНИКЕ СПЛОШНЫХ СРЕД И ЕГО ПРИЛОЖЕНИЕ К ТЕОРИИ ВЯЗКОПЛАСТИЧЕСКИХ ОБОЛОЧЕК

Т. Д. СЕМЫКИНА, В. П. ШАТИЛОВ

(Воронеж)

Предлагается вариационный принцип относительно независимого поля напряжений и кинематически допустимого поля скоростей перемещений для сплошных сред, обладающих потенциальными функциями напряжений и скоростей деформаций.

Полученный вариационный принцип записывается в терминах теории оболочек относительно независимых статических допустимого поля усилий — моментов и кинематически допустимого поля скоростей перемещений срединной поверхности.

Вид функционала конкретизируется для оболочек, изготовленных из вязкопластического материала.